

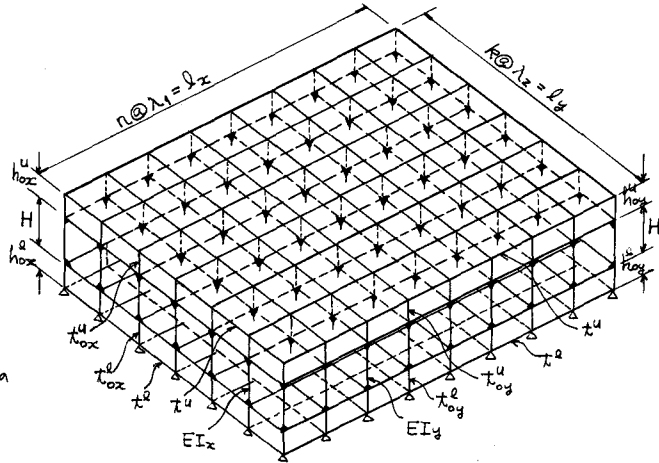
北大工学部 正員 能町純雄
北見工業大学 正員 大島俊之

1. まえがき

本論文は上下の2枚のリブ付き板を、リブを向い合せて水平に置き、対応する上下のリブの格差同志を棒状に、板に直角に鉛直方向に剛接した構造を取り扱っており、この種の構造は、地下鉄構内の構造、建築物の床と梁と程の関係、海中鋼構造物の側壁、土留壁とストラットの関係など各所に思われる構造があるが、ここでは合成された板としての性質を重く見て、表題のように呼ぶ。この種の構造の解析としては、上下のリブ付き板を格子構造として解いたり、直交異方性板として解いたり、さらに継ぎ目の効果を重ね合わせる言や、柱、梁要素に分けて、有限要素法で解く方法など考えられるが、ここでは板とリブに面外に曲げ剛性を無視した折板理論の式を用いて基本式を導き、和分変換を応用して、比較的容易にこの種の構造物も解かれることを示す。

2. 理論式

変位の自由度は各角で U, V, W の3個あり、リブの上下で、上板、下板にそれぞれ2個ずつあるので、12個の未知数となるが、 W と U, V の上下で等しいとする。剪断力のフリー面から差分方程式を導き、和分変換して、10元の連立一次方程式を解き、逆変換して、接点の応力などを求める。それぞれの手順については参考文献を参照されたい。



- (1) リブとデッキフロート接合線での剪断力のフリー面 (X方向、上板に $z=H$)

$$T_{Y,Y+1}^U + T_{Y,Y}^U + T_Y^{OU} = 0 \quad \text{--- (1)}$$

折板理論から T (フロート内の剪断流) は

$$T_{Y,Y+1}^U = \frac{N_x^U}{\Delta x} (z \dot{U}_{XY}^{OU} + \dot{U}_{X,Y+1}^{OU}) + \frac{Gt^U}{2} (\dot{U}_{XY}^{OU} + \dot{U}_{X,Y+1}^{OU}) + \frac{Gt^U}{\lambda_2} (\dot{U}_{X,Y+1}^{OU} - \dot{U}_{XY}^{OU}) \quad \text{--- (2)}$$

$$T_{Y,Y}^U = \frac{N_x^U}{\Delta x} (z \dot{U}_{XY}^{OU} + \dot{U}_{X,Y}^{OU}) - \frac{Gt^U}{2} (\dot{U}_{X,Y}^{OU} + \dot{U}_{X,Y+1}^{OU}) - \frac{Gt^U}{\lambda_2} (\dot{U}_{XY}^{OU} - \dot{U}_{X,Y-1}^{OU}) \quad \text{--- (3)}$$

$$T_Y^{OU} = \frac{N_x^U}{\Delta x} (z \dot{U}_{XY}^{OU} + \dot{U}_{X,Y}^{OU}) + Gt_{ox}^U \dot{W}_{XY}^{OU} + \frac{Gt_{ox}^U}{\lambda_2} (\dot{U}_{XY}^{OU} - \dot{U}_{X,Y}^{OU}) \quad \text{--- (4)}$$

これを(1)式に代入して、文献(3)の逆7°手順に反して積分すると次の基本式を得る。

$$\left(\frac{2}{3} \frac{N_x^U}{\lambda_1} + \frac{N_x^U}{3\lambda_1} \right) \Delta_x^2 U_{X-1,Y}^{OU} + \frac{N_x^U}{\Delta x \lambda_1} (\Delta_x^2 U_{X-1,Y+1}^{OU} + \Delta_x^2 U_{X-1,Y-1}^{OU}) + \frac{N_x^U}{\Delta x \lambda_1} \Delta_x^2 U_{X-1,Y}^{OU} + \frac{Gt^U}{4} \Delta_x \dot{U}_{XY}^{OU} + \frac{Gt^U}{2} \Delta_x \dot{W}_{XY}^{OU} - \frac{Gt^U}{\Delta x} \left(2 \frac{t^U}{\lambda_2} + \frac{t^U}{H} \right) (\Delta_x^2 U_{X-1,Y}^{OU} + 6 U_{XY}^{OU}) + \frac{Gt^U \lambda_1}{\Delta x \lambda_2} (\Delta_x^2 U_{X-1,Y+1}^{OU} + \Delta_x^2 U_{X-1,Y-1}^{OU} + 6 U_{X,Y+1}^{OU} + 6 U_{X,Y-1}^{OU}) + \frac{Gt_{ox}^U \lambda_1}{\Delta x} (\Delta_x^2 U_{X-1,Y}^{OU} + 6 U_{XY}^{OU}) = 0 \quad \text{--- (5)}$$

- (2) X方向リブ下側 U_{XY}^{OU} 方向の基本式の誘導。

棒の曲げによつて生ずる剪断力がリブの下側には集中剪断力として作用するを考慮し、このフリー面を考える。リブの下側は、折板理論から

$$T_Y^{OU} = \frac{N_x^U}{\Delta x} (z \dot{U}_{XY}^{OU} + \dot{U}_{X,Y}^{OU}) - Gt_{ox}^U \dot{W}_{XY}^{OU} - \frac{Gt_{ox}^U}{H} (\dot{U}_{XY}^{OU} - \dot{U}_{X,Y}^{OU}) \quad \text{--- (6)}$$

- (6)式を積分する過程で、 $(\sigma_{X,X+1}^{OU} - \sigma_{X,X-1}^{OU}) T_{ox}^U = Q_{XY}^X$ のフリー面を考慮すると次式を得る。

$$\frac{N_x^U}{3\lambda_1} \Delta_x^2 U_{X-1,Y}^{OU} + \frac{N_x^U}{\Delta x \lambda_1} \Delta_x^2 U_{X-1,Y}^{OU} - \frac{Gt_{ox}^U \lambda_1}{\Delta x} (\Delta_x^2 U_{X-1,Y}^{OU} - \Delta_x^2 U_{X-1,Y}^{OU} + 6 U_{XY}^{OU} - 6 U_{X,Y}^{OU}) - \frac{Gt_{ox}^U}{2} \Delta_x \dot{W}_{XY}^{OU} + \frac{6EI_x}{H^2} \left[\frac{1}{H} (\dot{U}_{XY}^{OU} - \dot{U}_{X,Y}^{OU}) - \frac{1}{2\Delta x} (\dot{U}_{X,Y}^{OU} - \dot{U}_{X,Y-1}^{OU}) - \frac{2}{H} (\dot{U}_{XY}^{OU} - \dot{U}_{X,Y}^{OU}) \right] = 0 \quad \text{--- (7)}$$

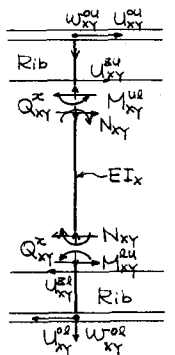


図2.

(3) z方向の棒材の軸力とリブ内の剪断力のりあい。(上板は $z=11$)

棒材の軸力 z 方向に作用する z と z を考慮し、リブ内の剪断力 z

P_{xy}, N_{xy} $z > 1$ あり z と z から、次の基本差分方程式を得る。

$$\frac{G t_{ox}^u h_{ox}}{\lambda_1} \Delta_x^2 w_{x-1,y} + \frac{G t_{oy}^u h_{oy}}{\lambda_2} \Delta_y^2 w_{x,y-1} - \frac{G t_{oz}^u}{2} (\Delta_x U_{xy}^{ou} - \Delta_x U_{xy}^{ou}) - \frac{G t_{oz}^u}{2} (\Delta_y U_{xy}^{ou} - \Delta_y U_{xy}^{ou}) - \frac{EA}{H} (w_{xy}^{ou} - w_{xy}^{ol}) = -P_{xy}^u + \frac{1}{\lambda_1} [\bar{p}_y^u(x,y+1)^{\lambda_1} - \bar{p}_y^u(x,y-1)^{\lambda_1}] + \frac{1}{\lambda_2} [\bar{p}_x^u(y,y+1)^{\lambda_2} - \bar{p}_x^u(y,y-1)^{\lambda_2}] \quad (9)$$

以上の(5), (8), (9)式を誘導する過程で用いた手順を、他の方向にも同様を用いて、それぞれ未知数は対応する10本の基本差分方程式を定めることとなる。ただし $N_x^u = E t_{ox}^u \lambda_z$, $N_{ox}^u = E t_{ox}^u h_{ox}$, $U = \frac{\partial u}{\partial z}$.

$\Delta_x^2 j(x-1) = j(x+1) - 2j(x) + j(x-1)$, $\Delta_x j(x) = j(x+1) - j(x-1)$, $A =$ 棒材の断面積, $p =$ リブ上の分布荷重。

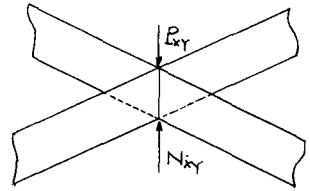


図3.

3. 数値計算

図1のような構造をとり、同じ単純支持の境界条件で、板中央に単一集中荷重 $P = 1 \text{ kg}$ が作用し z と z の境。応力図を図示する。 $E = 34800 \text{ kg/cm}^2$, $G = 12610 \text{ kg/cm}^2$, $n = 8$, $k = 6$, $t_x^u = t_x^l = 0.3 \text{ cm}$

$\lambda_1 = \lambda_2 = 10 \text{ cm}$, $h_{ox} = h_{ox}^u = h_{oy} = h_{oy}^l = 2 \text{ cm}$, $H = 6 \text{ cm}$, $A = 1.2 \text{ cm}^2$, $t_{ox}^u = t_{ox}^l = t_{oy}^u = t_{oy}^l = 0.3 \text{ cm}$ 。

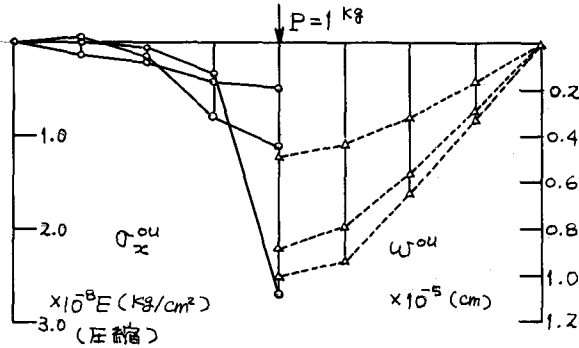


図4.

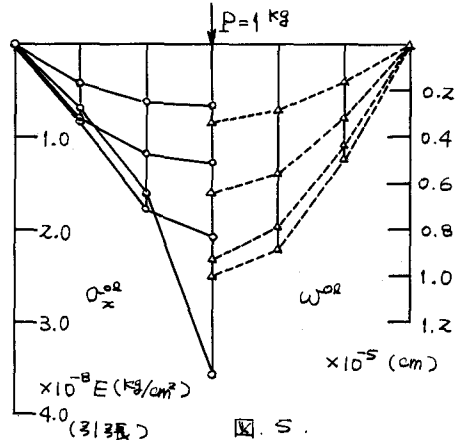


図5.

4. 結言

ここでは紙面の都合上、他の理論との差異は、くわしく論ずることはできなかつたが、議論の際はこれらを併せて発表する予定である。本論文は規則的にリブと板が配置されている合成された平板構造に、積分変換の技術を主として解かれることを示したものである。また、ここでは各種の複雑な構造系を全体的に解く方法はないと思われるが、本論文は比較的厳密に解く一つの解法として有効であり、今後とも板とリブの各種の性質を検討したいと考えられている。数値計算には北大大型計算機 z と z の FACOM 230-60 を使用した。

参考文献

- (1) Nomachi, Matsuoka: Applications of Finite Fourier Integration Transforms for Structural Mechanics, Proc. of the 20th Jap. Nat. Cong. for Appl. Mech. (1970).
- (2) 能町純雄, 大島俊之: 上下床板と縦横リブによるリブトプレート解析. 土木学会第27回年次学術講演会概要集 (1972) I-118 P.329.
- (3) 能町純雄, 松岡健一, 大島俊之: 縦横リブを有する板の応力解析 z と z . マトリクス構造解析研究発表会論文集 (第5回) (1971)